

FIDE

# GROUPE SHF (H)URC INFOS

N°17 AOUT 84



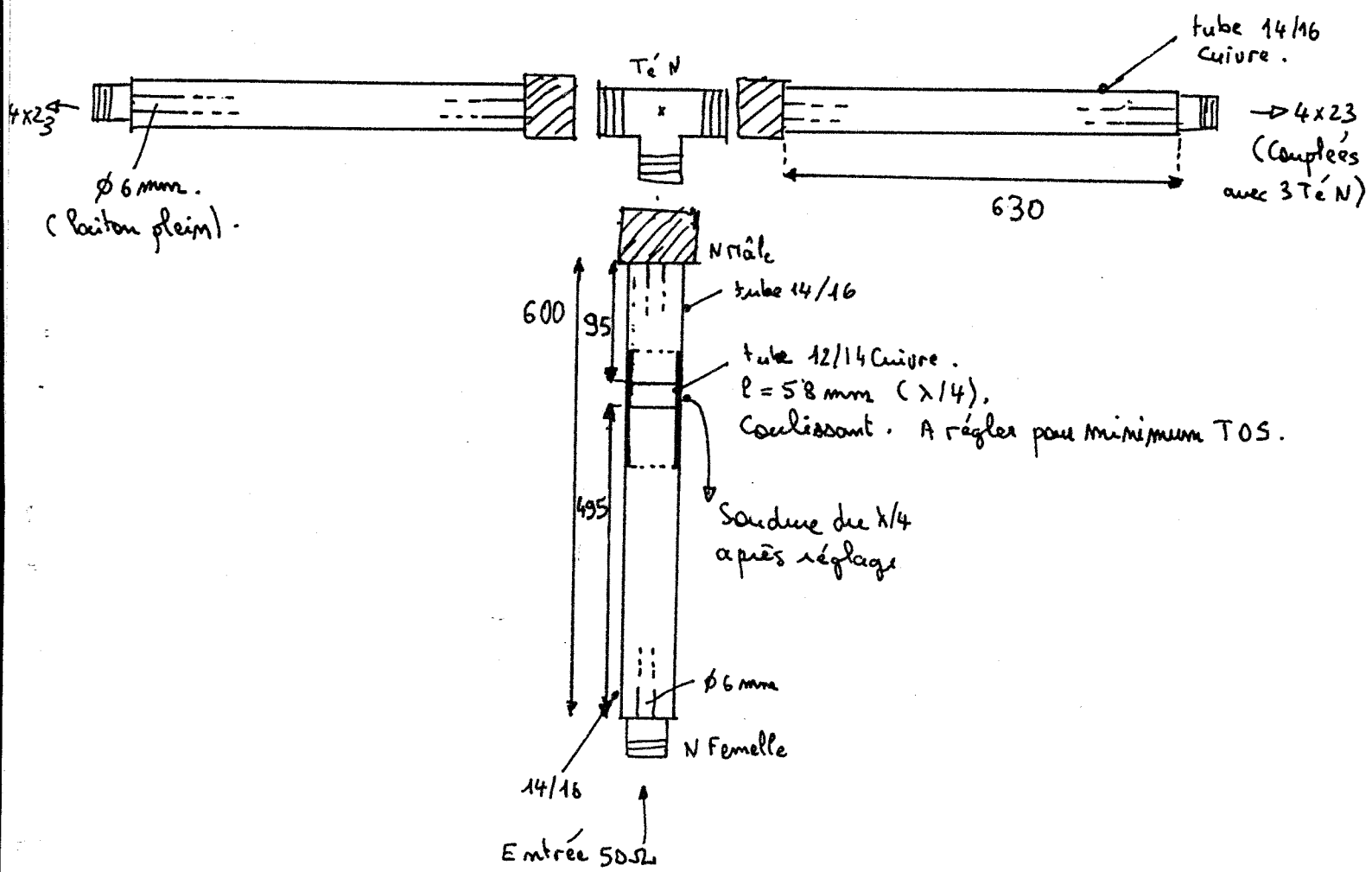
Les informations et schémas contenus dans ce document sont issus d'études réalisées par nos LABORATOIRES D'APPLICATIONS, dans lesquels des résultats satisfaisants ont été obtenus. Ces informations étant susceptibles d'une grande variété d'applications, Le Groupe SHF-HURC ne peut assumer aucune responsabilité quant aux conséquences éventuellement dommageables de leur mise en œuvre. Elles n'impliquent la concession d'aucun droit de propriété industrielle, domaine dans lequel, en outre, aucune garantie ne peut être donnée.

CE DOCUMENT NE PEUT ETRE COMMUNIQUE OU REPRODUIT SANS AUTORISATION ECRITE DU GROUPE SHF HURC

2

# LIGNES DE COUPLAGE $8 \times 23$ elements $1296 \text{ MHz}$

par F6DZK



Résultats: Return Loss  $> 25 \text{ dB}$  (mesuré sur Wiltron).

Avec  $8 \times 23$  éléments Tonna. (à compléter par 4 avec des Tés !)

Pour 150 W de direct  $\rightarrow$  200 mW retour.

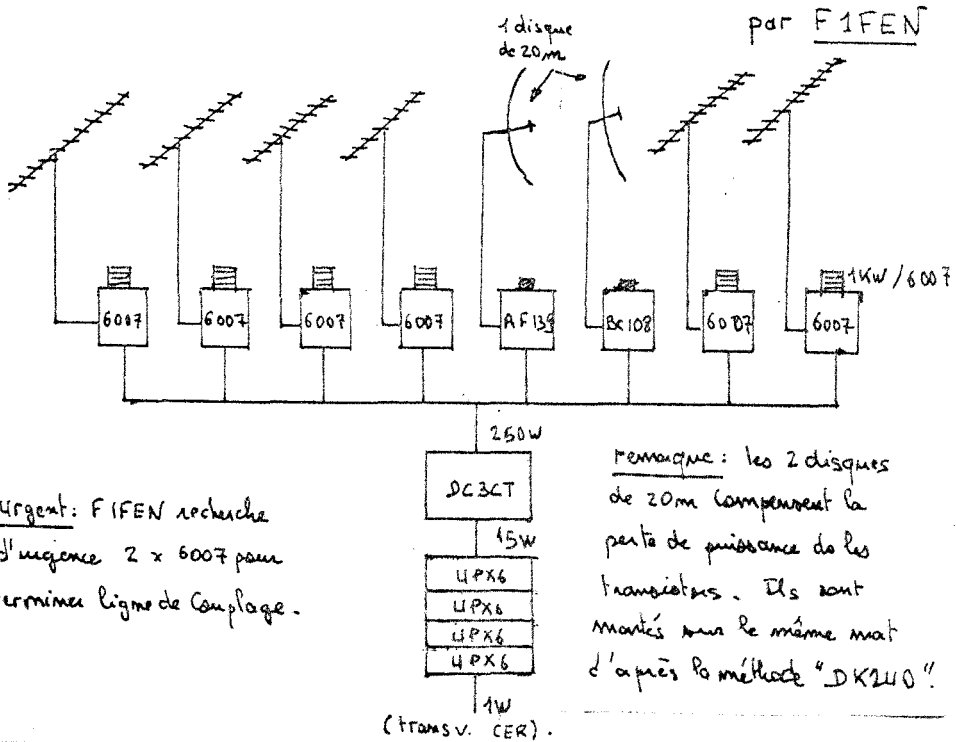
73's bon traffic.

Michel

F6DZK

(3)

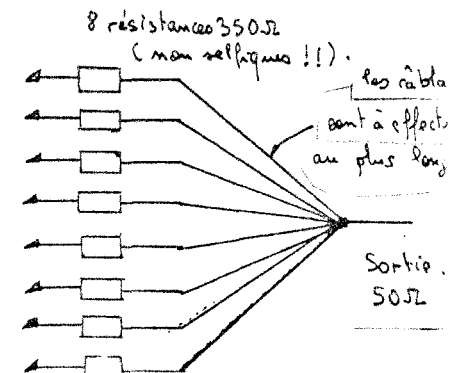
# LIGNES DE COUPLAGE 8 X 23 éléments 1296 MHz



# LIGNES DE COUPLAGE

8 X 23 éléments 1296 MHz

par F6HZ.A.



## QUELQUES PROGRAMMES \*\*\*\*\* F1QY \*\*\*\*\*

1) nom du programme: TOOL NOISE

configuration nécessaire: COMMODORE C64

FLOPPY DISK 1541

cartouche TOOL (micro applications)

domaine d'application: permet d'analyser les différentes températures de bruit dans un système de réception comportant

- ) une antenne (temp. ciel+antenne combinées)
- ) 3 pertes (ex: relais coax, lignes de transmission)
- ) 3 gains (ex: préamplis, récepteur)

2) nom du programme: TOOL ATTENUAT

configuration identique au programme précédent

domaine d'application: permet de calculer des atténuateurs en T, ainsi que la configuration MINIMUM LOSS PAD pour deux impédances ZE (entrée) et ZS (sortie) égales ou différentes.

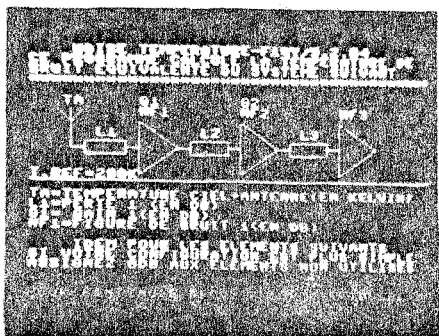
Le formatage de l'écran introduit des erreurs à partir de 80 dB par cellule !!! en pratique, un tel problème ne se pose pas ... utile pour celui qui réalise son instrumentation. Le programme ne donne pas les trucs pour une bonne réalisation hyper.

NB: a) listings disponibles contre ETSA (environ 3 pages A4 par programme).

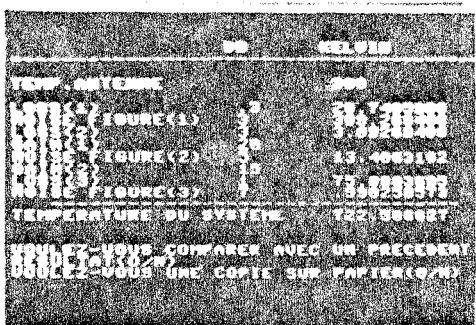
b) pour copies: 1 disquette 5 pouces 1/4 vierge, simple face , simple ou double densité + ETSA

c) votre application semble vous intéresser; envoyez alors vos paramètres + ETSA

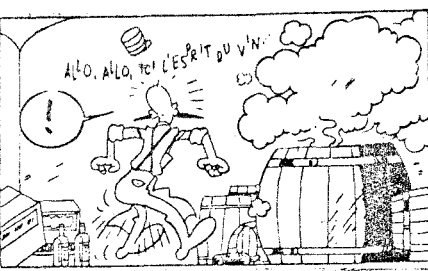
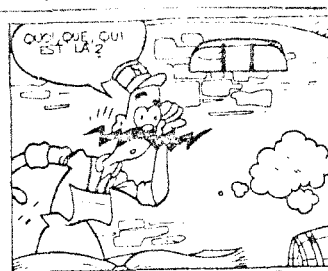
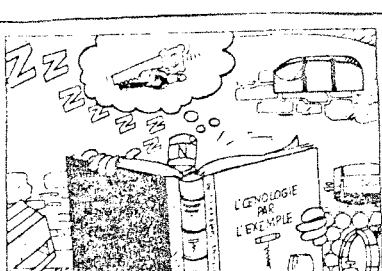
PS: F1QY ne dispose pas encore d'une imprimante .... alors choisissez bien les ons "analyse". 73 à tous



présentation avant introduction des données



exemple d'exécution



# Amplificateur de Puissance

## 6 à 7W sur 2,3 GHz par F4FLN

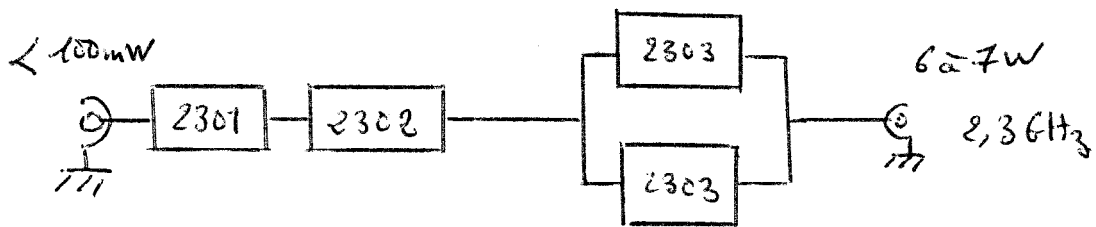
Une haute technicité dans le domaine hyperfréquence a permis le développement des transistors de puissance classe A "linéaire". Ces transistors permettent d'obtenir des puissances relativement importante sur la bande S. Notre choix a porté sur une alimentation 12V (tout pour le portable). Les transistors utilisés sont développé par NEC (Nippon Electronic Corporation) pour des applications dans des faisceaux hertziens, satellite, Radars ect... Conçu pour une large gamme de fréquences entre 1 et 3 GHz, Parmi un nombre importants de transistors nous en avons choisi trois centré sur 2,3 GHz:

NEC 2301 1W 8dB de gain à 2,3 GHz

NEC 2302 2W 6dB de gain à 2,3 GHz

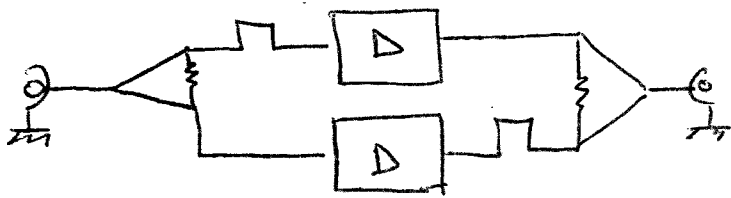
NEC 2303 3W 5dB de gain à 2,3 GHz

une très belle chaîne démission en perspective



pour obtenir la puissance requise de 6 à 7W nous utiliserons

I Description du circuit: Le circuit de sortie est constitué de 2 amplificateurs couplés par un diviseur et un combinateur de puissance, plusieurs technologies peuvent être utilisées, des coupleurs  $0^\circ$  type Wilkinson (voir article mélangeur), des coupleurs rat race, ou bien des solutions avec des réseaux déphasateurs comme suit :



un diviseur wilkinson permet de séparer et de combiner la puissance, une ligne  $\lambda/4$  permet de déphaser, mais deux désavantages, l'isolation et la résistance d'équilibrage non efficace de puissance. La solution retenue est un hybride (coupleur (-3dB)  $90^\circ$ ), Ces amplificateurs peuvent avoir un TOS en entrée le combinateur se chargera d'absorber les désadaptations et de ne pas renvoyer de la puissance sur l'étage exciteur (voir annexe pour théorie).

## II Amplificateurs avec NEL2303

### Adaptation de l'entrée

Le transistor présente une impédance de la forme  $Z_{in} = a + jb$ , il faut transformer celleci en  $50\Omega$ , une capacité (Stub) compense la partie réactive, un transformateur  $\lambda/4$  permet de ramener à  $50\Omega$ . Cette capacité, pouvant être réalisée par un ajustable

de quelques picofarads genre  $\text{giga}\mu\text{F}$  (car tout autre capacité ajustable de moins bonne qualité autoraisonnée) ou par une ligne  $\lambda/8$  ouverte constituant également une capacité (Stub) nettement moins honnête mais moins facile à ajuster (par petit bout de clinquant ou un cutter)

### Adaptation du circuit de sortie

Celui-ci est également de la même forme  $Z_{\text{out}} = a + jb$

Pour obtenir une adaptation en puissance, il faut ramener une résistance  $R_L = \frac{(V_{\text{cc}} - V_{\text{CE}})^2}{2 P_{\text{out}}}$  sur le collecteur du transistor

ceci pour obtenir le maximum de dynamique. (Théorie développée dans un prochain article peut-être)

Pour une  $P_{\text{out}}$  de sortie de  $3\text{W}$ , une tension

d'alimentation de  $12\text{à }15\text{V}$ , le  $V_{\text{CE HF}}$  est généralement de

$1\text{à }2\text{V}$  nous obtenons une résistance de l'ordre de  $2\text{k}\Omega$ .

La ligne  $\lambda/4$  d'adaptation a comme impédance

$$\text{caractéristique } Z_0 = \sqrt{50 \times 2k} = 35\Omega.$$

Un condensateur permet de compenser la partie réactive.

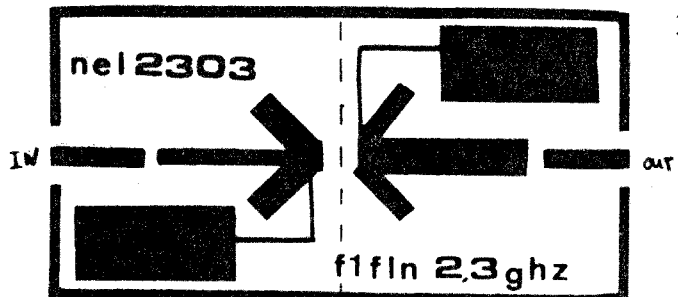
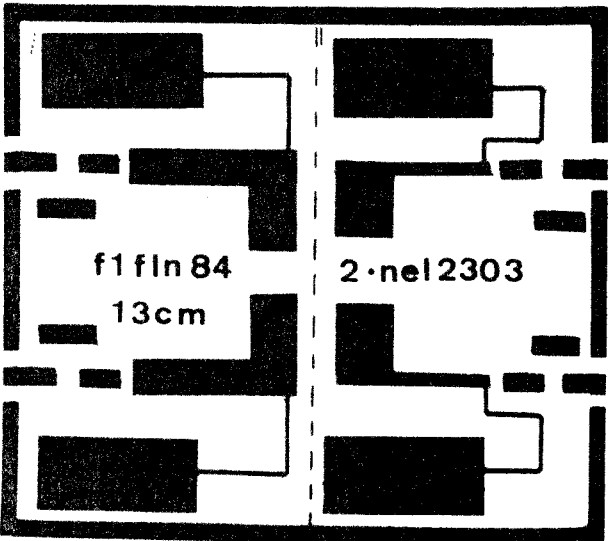
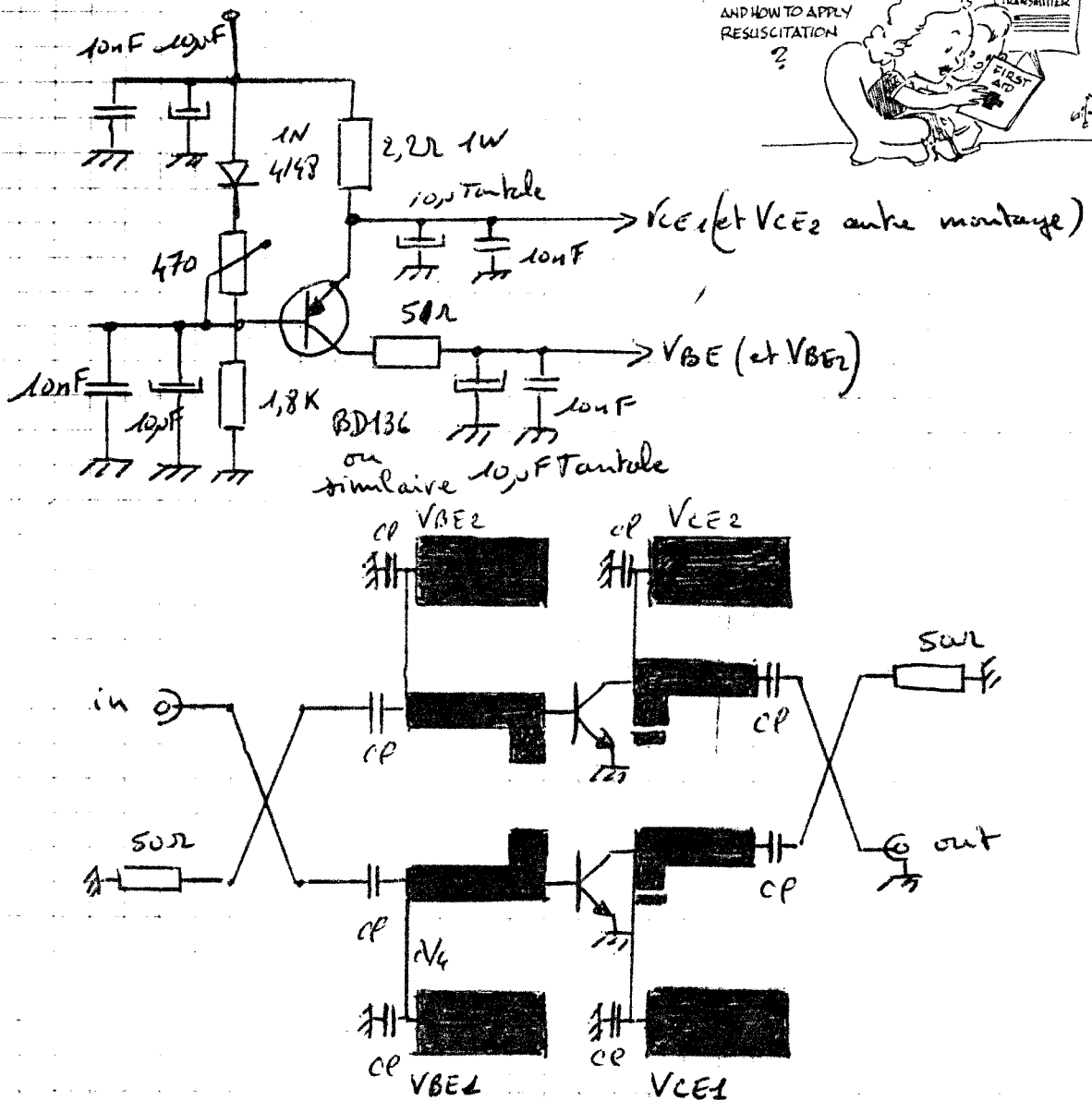
Polarisation: Les condensateurs C1 bloquent les différentes tensions continues, ils sont choisis pour ne pas trop atténuer à  $2,3\text{GHz}$  et de ne pas autoraisonner (valeur trop importante).

Les transistors sont polarisés en classe A par un générateur à courant constant. Une résistance ajustable permet le réglage du courant à  $600\text{mA}$ . Un découplage de bonne qualité diminue les risques d'instabilité (en BF et VHF).

## Schéma

7

+1Lā 15V



304

508

f1 f1n 84  
13cm

2 · nel2303

502

14

# FILTRE $\lambda/2$ POUR LA BANDE 23 CM \*\*\*\*\* F1QY

## 1) Introduction :

ce type de filtre n'est pas nouveau (a simple filter for the 1215Mhz bande . WØRUG . QST APRIL 1969). malgré des performances " moyennes" , une telle réalisation est intéressante car les réglages ne nécessitent pas l'emploi d'un network analyser !

## 2) Réalisation :

les figures 1 et 2 se passent aisément de commentaire. les matériaux et composants nécessaires sont les suivants:

- ) cuivre épaisseur 5 ou 7/10 mm
- ) 2 connecteurs BNC 50 Ohms
- ) un condensateur ajustable 0,8 - 10 pF AIRTRONIC ou équiv.

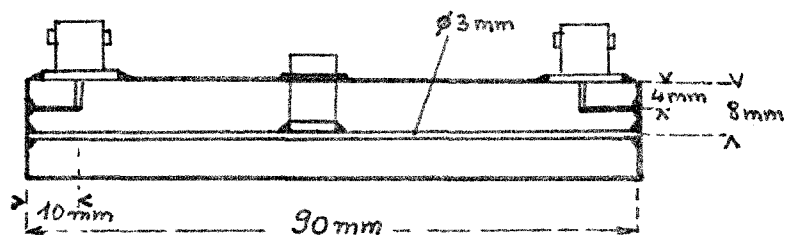


fig.1

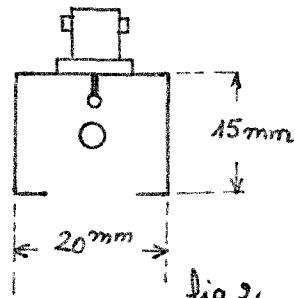


fig.2

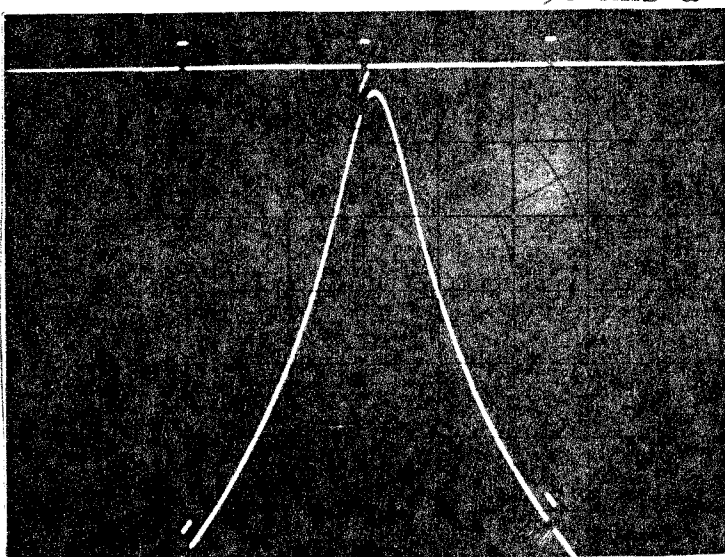
## 3) Performances :

pertes d'insertion : 0,5 à 0,6 dB

bande passante : 14 Mhz à -3 dB

90 Mhz à -15 dB

f résonnance 1104 Mhz  
2,5 dB/div  
20 Mhz/div  
marker= 50 Mhz  
start 1000 Mhz : stop 1200 Mhz  
sweep width 200 Mhz



ce filtre a été réalisé , a l'époque , pour travailler sur 1248 Mhz avec une moyenne fréquence de 144 Mhz . les résultats sont similaires sur 1296 Mhz. les dimensions choisies permettent l'accord dans la gamme 800 - 1300 Mhz min (F max/ F min =\* 1,6)

# LE POUR VOUS

## 432 and above EME News

MARCH 84 - 2x MGF1612 2300 MHz  
preamplifier DE9PMJ  
- DL9KR 70cm Flatdish Feed

APRIL 84 DE9PMJ modified version  
of DL7YC high power hybrid coupler  
(HURK info's n°)

MAY 84 - modifications to W6PO 1296 MHz preamp  
- G4DGU Feed WA3JUF  
- RF Field indicator 432-1296 G4PMK/G3YEK  
- 432 microstrip low pass filters JA4BLC

## DUBUS INFO'S 2-84

FREQUENCY DOUBLER 2.5 GHZ TO 5 GHZ BY DC0DA  
6CM RESONATOR CIRCUIT BY DK2AB  
THREE BAND GAAS FET AMPLIFIER 1000-4000 MHZ BY DL7QY  
10 GHZ/144 MHZ SSB TRANSVERTER BY DL8RAH  
10 GHZ GAAS FET LINEAR AMPLIFIER AND MICROSTRIPFILTER BY DL7CY

## HTR RADIO May 84 (annual antenna issue)

branch line hybrids part 2 WA2ENT  
(lumped constant hybrids for HF and VHF)

PROCEEDINGS OF THE IEE, MAY 1984

BY

HIDETSUGU YAGI

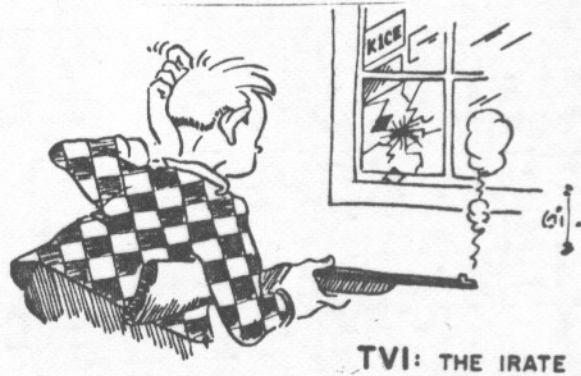
### EDITORIAL COMMENTARY

This classic paper was presented at IRE meetings in several locations during a visit to the United States in 1928 by one of Japan's most prominent radio-electronics engineers. He disclosed recent experiments with split-anode magnetrons at centimeter wavelengths and the characteristics of what became generally known as the "Yagi antenna" that could produce highly directional microwave beams. In comments on Yagi's paper, J. Howard Dillinger of the Radio Division of the National Bureau of Standards characterized the work of Yagi and his colleagues as "exceptionally fundamental" providing principles that would guide future developments in the field. Dillinger concluded that he had "never listened to a paper that I felt so sure was destined to be a classic." The Yagi antenna with one driven element, a reflector, and the parasitic directors that he termed a "wave canal" has continued to be used widely to the present day and has been used especially as an outdoor television receiving antenna. It sometimes has been called the Yagi-Uda antenna reflecting the contribution of Yagi's student and research collaborator Shintaro Uda. In an IRE paper published in 1930, Uda reported that the Yagi group had achieved a range of 30 km using a beam system operated at 50 cm. The words microray and microwave began to enter the language of radio engineering in the early 1930s.

### VHF-COMMUNICATIONS 2/84

Bernhard Kokot Dieter Schwarzenau	A Home-made RF-Millivoltmeter
Terry Bittan, DJ 0 BO/G 3 JVQ	The GOES Series of Geostationary Weather Satellites
Jochen Jirmann, DB 1 NV	A 10 GHz FM Transceiver with DSO Another Version with a 30 MHz Intermediate Frequency
Günter Sattler, DJ 4 LB	A Control Circuit with four Time Steps for Transmit-Receive Switching
Friedrich Krug, DJ 3 RV	A Receiver for the VLF Time and Frequency Standard Transmissions from DCF 77
Hans Ulrich Schmidt, DJ 6 TA	Introduction into Spread Spectrum Technology Article based on a Lecture at the Weinheim VHF-Convention 1982

February 84  
NGCA Rat Race power combiner



"This is incredible... I've contacted a Captain Lightning in his Mars space ship."

we can achieve the possibility of the voltage at the oscillator in modulation.

filters as part of the feedback - Q factor due to the coupling effect of the LC circuit for the second harmonic output for a combination of an inductor and a capacitor.

radio frequency power conversion is done in the voltage form acceptable < 5 MHz.

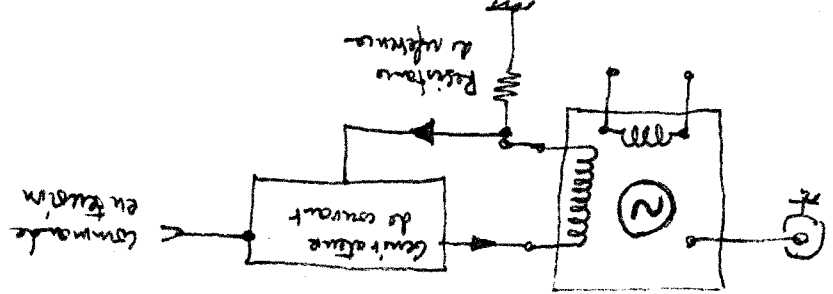
otherwise it follows power divider due to utilization of LC with bobbin in parallel with filter to generate the current. Then from 2 watt down to 2 watts down to 100 mW.

transistor chosen due to its efficiency, the impedance due to reflection due to source

power output with FET as a bridge of power conversion to kHz - its function

is to divide in frequency, at frequency 30 MHz. In practice usually as others

as parameters shown above are determined by current and voltage.



and in the modulation F.M, mod. is by amplitude.

so if a to be produce more than each of much surface - the current effect due to

current - it does not to play possible. Consideration on time and due to load

parameters contains the multivibrator of which one is to form a differentiation

powerful circuits - so want this to come down to reduce this is to use a

multivibrator of it is possible do function of transfer F/I interface +

the shape measure from output of source to the source is to use a

current + parameters of course - the shape measure from output of source to the

multivibrator. It becomes suitable parameter to function as oscillators on the other

parameters given in the of the figure. If diameter of hole is a ratio of amplitude

across - lithium ion is to fault tolerance of resonator as the process do fault in the char-

FET or the diodes Gunn. (different circuit of multivibrator we like compare d. in gun)

of a grid oscillators "diodes", results a result to transistors AS 6A ! bipolar is our

bottom needs to use to oscillators H.I.G.

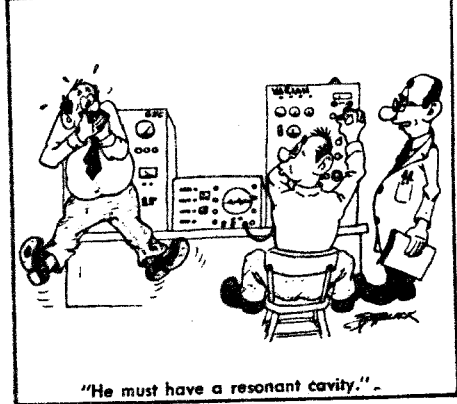
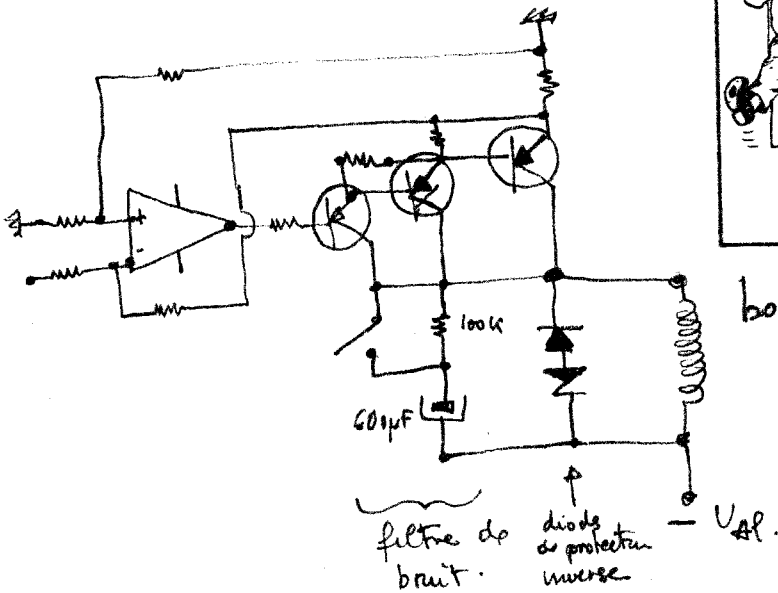
to plan a fault possible - of oscillator that is able to work in Y.I.G.

an oscillator circuit at 2.5 & 3.95 GHz, output in minimum to 100 MHz at the

oscillator frequency. If we have only oscillator is often approach the selected

oscillator frequency. This occurs in power conversion to oscillator for signal and in

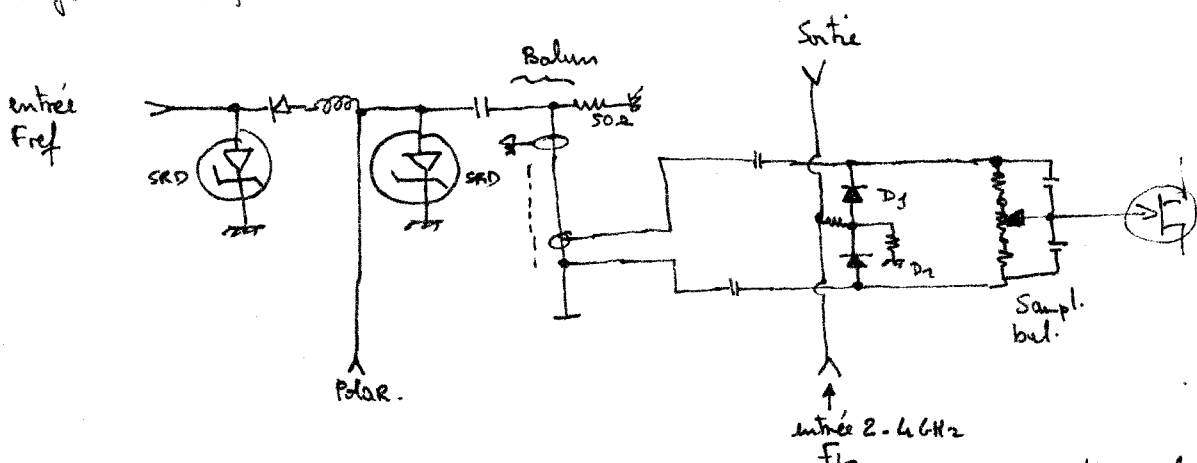
# Schéma simplifié du générateur de courant.



bobine du Y.I.G

les diodes de protection inverse servent dans le cas de reboulement lors du retrace -

Pour stabiliser l'oscillateur YIG on utilise un échantilleur dont le schéma 'toujours simplifié' est le suivant:



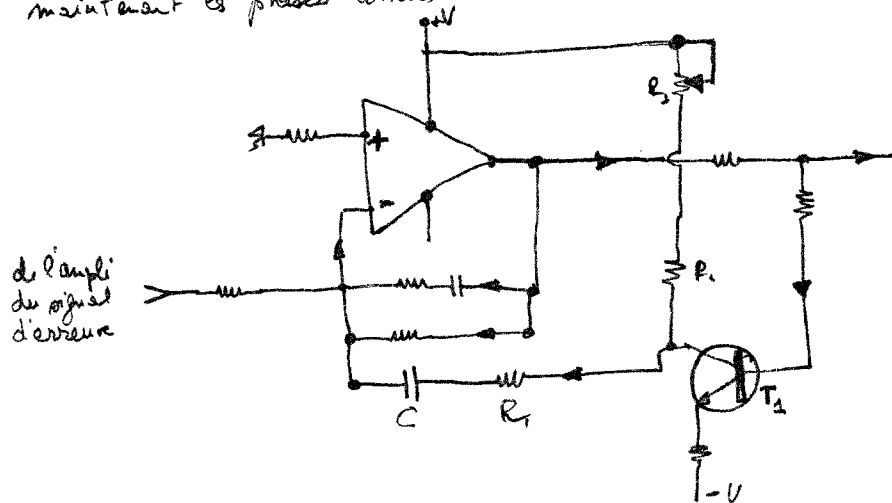
La fréquence de référence est envoyée sur les S.R.D qui fabriquent un paquet d'impulsions à front raide. Il faut que + pulse  $\leq \frac{f_L}{2}$  pour que l'échantillage fonctionne correctement. Le balun peut être réalisé à l'aide de wax ou de stripline suivant le fréquence d'utilisation. Il faut simplement que les deux diodes d'échantillage reçoivent les pulses de même amplitude mais réversement en opposition de phase. La sortie est continu à l'aide d'un potentiomètre d'équilibrage qui permet d'annuler tout offset continu.

Quelque soit  $f_L$  il existe une combinaison qui fait que  $F_{IF} = f_L \pm N f_{ref}$ .  $N$  étant un rang de multiplication. Lorsque  $f_L$  devient très sensiblement égale à  $f_{ref} \times N$  la fréquence IF baisse (ou monte suivant les cas) - lorsque  $F_{IF}$  est strictement égale à  $f_{ref} \times N$  on a  $F_{IF} = 0$  et lorsque les phases sont identiques la tension continue en sortie est nulle (à condition bien sûr d'avoir précédemment réalisée l'équilibrage de la porte).

Cela permet d'utiliser l'échantilleuse comme un détecteur de phase -

(12)

La sortie amplifiée sera réinjectée sur la bobine F.M du Y.I.G pour maintenir  $F_{IF} = \phi$  et  $V_{IF} = \phi$ . Afin de faciliter l'acquisition de la boucle on ajoute dans celle-ci un oscillateur de capture. Il s'agit d'un oscillateur dont la fréquence est de quelques hertz et qui délivre une tension qui sera superposée à  $V_{IF}$ . lorsque que l'on autorisera le phase-lock l'oscillateur se mettra en fonctionnement shiftant  $F_{lo}$  suffisamment loin pour celle-ci passer sur une condition où  $F_{lo} = F_{IF}$ . Dès que le signal IF montre que  $F_{lo}$  est dans la plage de capture de la boucle, l'oscillateur s'arrête et la boule fait son office, maintenant les phases corrects.



La boucle de contre réaction sur l'ampli OP avec  $T_2$  provoque une oscillation dont la période est déterminée par le produit  $R_1C$ .

La fréquence de référence pour la boucle est fournie par un oscillateur à quartz thermostatisé qui est filtré par un filtre à quartz à 1 pôle pour limiter le bruit de phase.

Les résultats globaux sont encourageants. Après diverses manipulations pour mettre au point le gain de boucle, la synchronisation arrive à se mettre en œuvre sans problème et l'on peut voir avec ravissement battre le Hz sur le compteur.

Toutefois il est encore nécessaire d'optimiser le filtrage de la boucle pour essayer d'éliminer les produits indésirables (présence de 10 MHz à -75 dB dans certains cas) et essayer d'améliorer le bruit de phase. Les fig. 4 et 5 montrent les résultats obtenus dans l'état actuel de choses. Le bruit de phase ne peut pour l'instant être chiffré avec précision.

Référence:

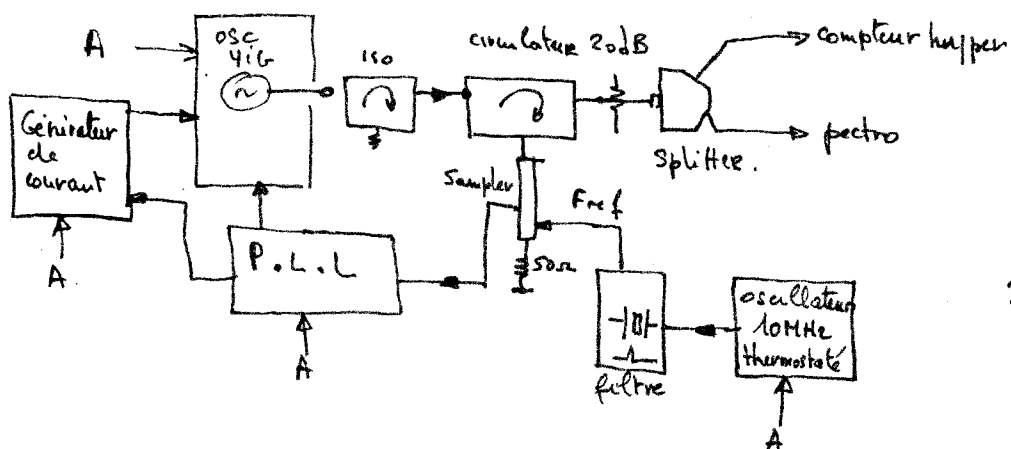
H.P. Spectrum analyser operation and service manual 8554B et 8555A et 8565A.

Hewlett Packard Journal Nov 1977 : Frequency synthesis in Microwave signal generator

WS Watkins Johnson Journal : tech notes . Ka band YIG tuned Coax oscillators

A noise reduction technique for multipliers type microwave oscillators . H.J. Siweis et B. Scheideck

## Conditions de mesure.

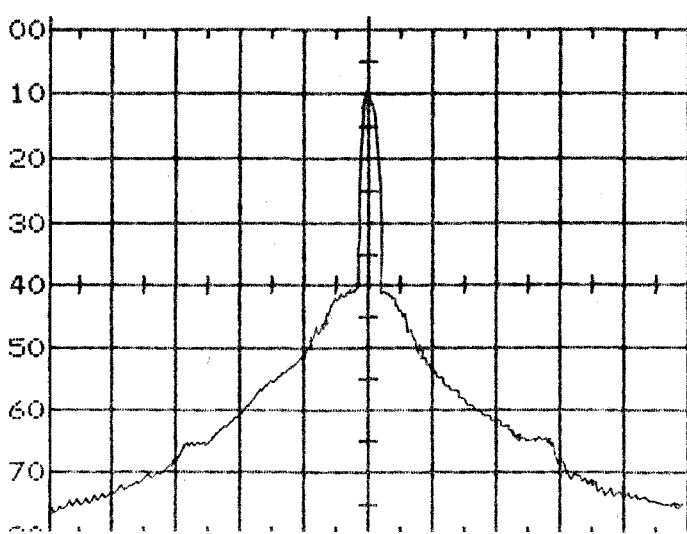


A = Alims .

Une fois l'acquisition par le P.L.L. réalisée l'ensemble reste verrouillé plusieurs heures et peut ainsi rester quasiment indefinitely. Le seul problème est à la mise en route. Il faut que le Y.I.G. soit assez stable pour rester dans la plage de capture de la boucle. C'est pourquoi l'alimentation en courant de la bobine principale doit être extrêmement stable en température. Si non la synchronisation d'un ou de plusieurs tangs harmoniques de l'oscillateur de référence. La fréquence de référence étant de 10 MHz il faut que l'oscillateur de recherche d'acquisition couvre au moins 5 MHz. Cette variation étant très importante pour la bobine FM du YIG on envoie une partie de la tension de "recherche" sur le générateur de courant de la bobine principale. Généralement l'excursion de la bobine FM étant limitée à  $\pm 2$  MHz environ pour le YIG courants.

A propos des résultats une analyse plus fine du signal montre une ligue F.M. 50 Hz (quelques centaines de Hz) résiduelle. Cela est dû à l'aspect "papier à crabe" du montage de la maquette.

$$\text{On a } I_b = 125 \text{ mA} \Rightarrow 2,76 \text{ GHz et } I_b = 195 \text{ mA} \Rightarrow 4,2 \text{ GHz} \Rightarrow 46,7 \mu\text{A / MHz} !!$$

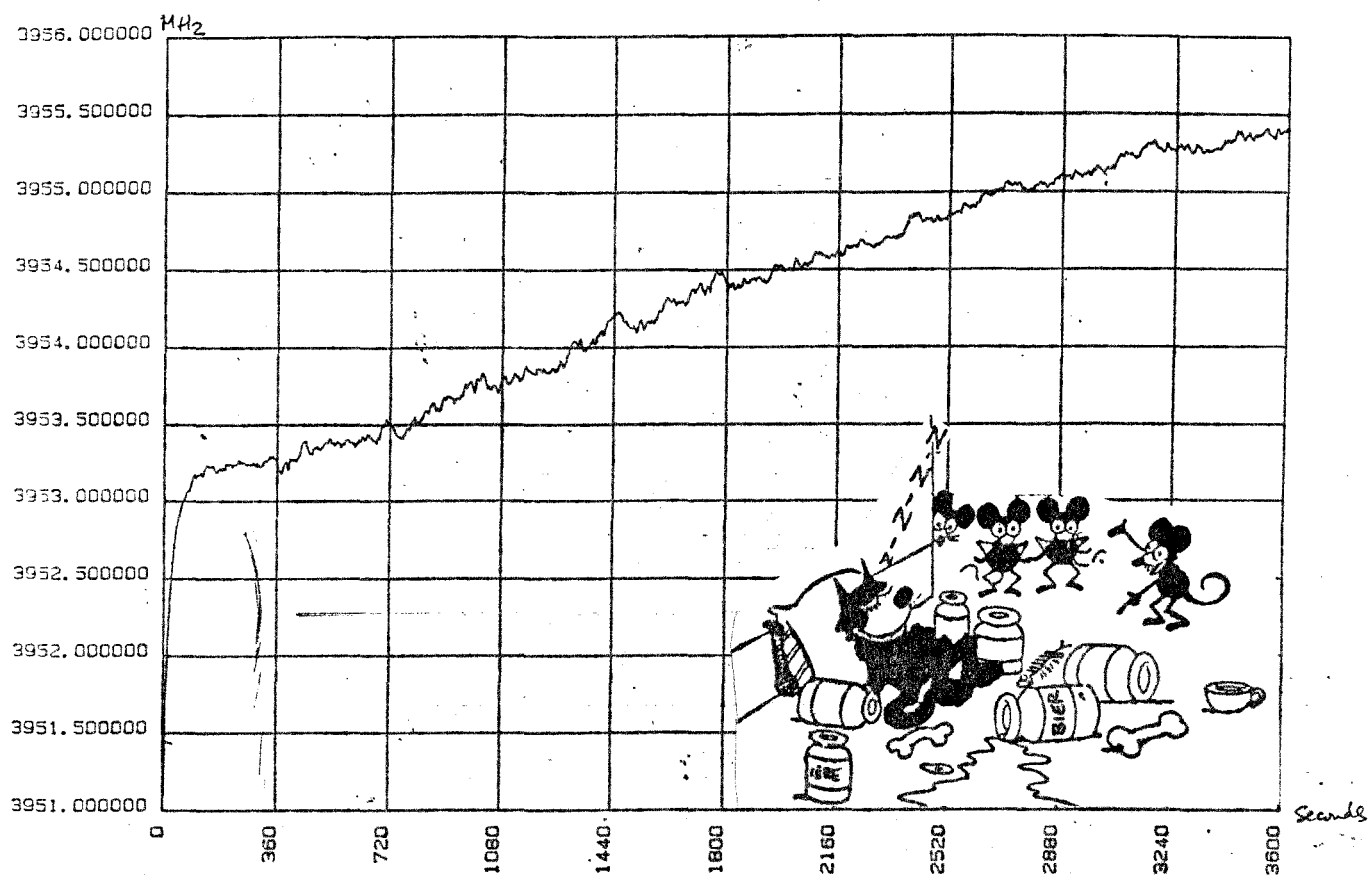


$F_\phi = 3,900 \text{ GHz}$   
 Input Att: 20 dB.  
 Log Ref: +10 dBm  
 Scan: 10 kHz / div  
 Resolution: 300 Hz  
 Vidéo: 100 Hz  
 Temps / div: 1 sec.  
 Scan: auto / int

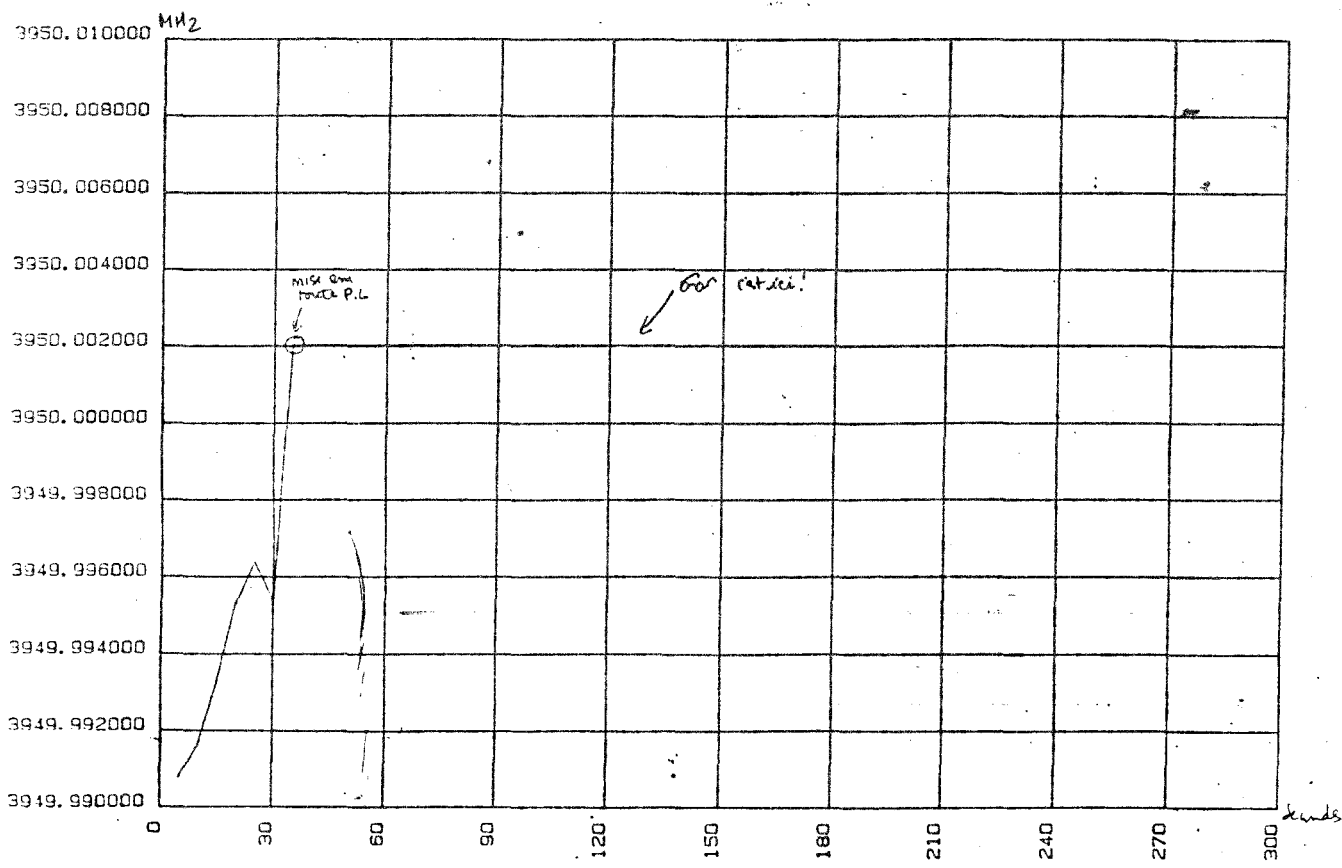
E.T.R. Derive Y.I.G synthe version 3

YIG mm phase locke

116

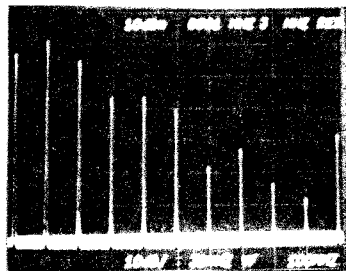


E.T.R. Derive Y.I.G avec synchro



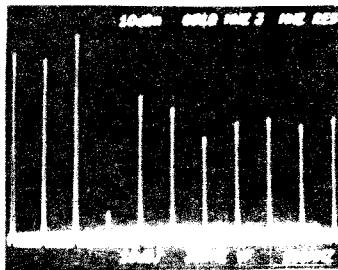
CHAINE D'OSCILLATION LOCALE 400 Mhz \*\*\*\* F1QY  
quelques détails supplémentaires (cf OCI N°141-octobre 83)

spectre en sortie de T2  
(emitter follower)  
REF +10 dBm  
100 Mhz/div  
sweep width= 1000 Mhz



le couplage entre T3 et T4 se fait avantageusement à travers un filtre 200 Mhz à 2 cellules.

spectre en sortie du doubleur (T3)  
P 200 Mhz = +12 dBm

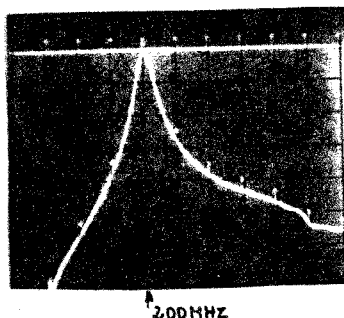
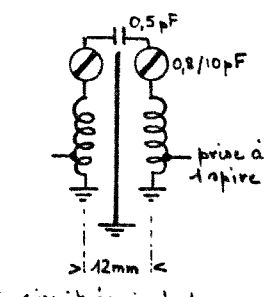


nota: couplage emitter follower/doubleur optimum pour C liaison compris entre 1,8 et 6,8 pF.

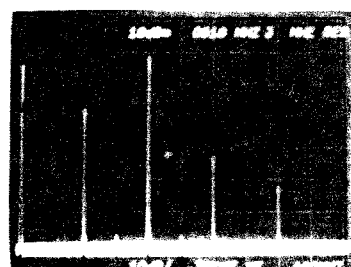
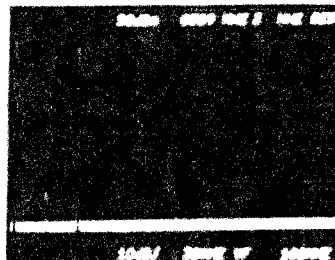
utilisez perle ferrite type 3B3 ou equiv. pour éviter les oscillations paramétriques.

alimentation de T3 à travers un filtre VHF & meilleure stabilité.

prise sur L2 . emplacement critique .

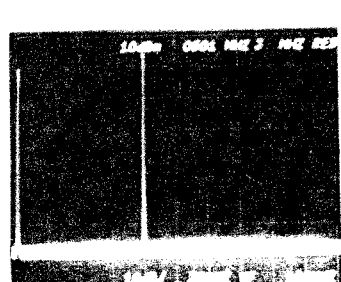
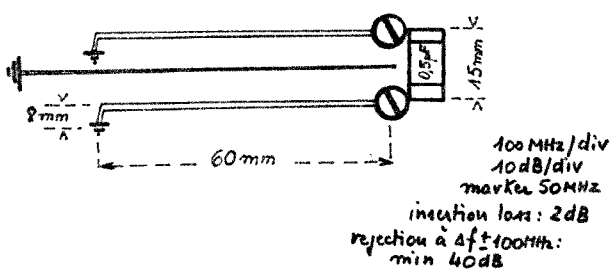


l'action du filtre 200 Mhz est de faciliter le filtrage à 400 Mhz  
sortie doubleur 200 Mhz + filtre 2 cellules  
p 200 Mhz = +18 dBm  
meilleure pureté spectrale  
meilleur transfert d'énergie



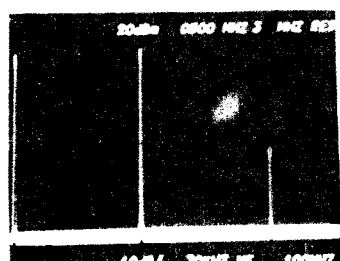
sortie T4  
doubleur 200/400 Mhz  
100 Mhz / div  
10 dB / div

même remède en sortie de T4. (filtre 400 Mhz à deux cellules)



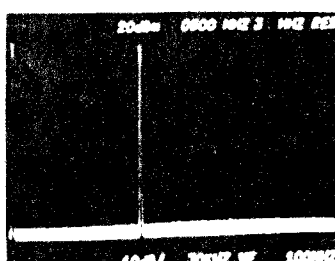
sortie de T6 (400 Mhz "power amplifier")  
sans filtre !  
on voit très bien l'harmonique 2 (800 Mhz)  
p 400 Mhz = + 20 dBm

Sortie doubleur 200/400 Mhz + filtre  
P 400 Mhz = +14 dBm  
Spurious rejection > 60dB (1 à 1000 MHz)



un filtre 400 Mhz identique au précédent sera implanté en sortie de T6 .

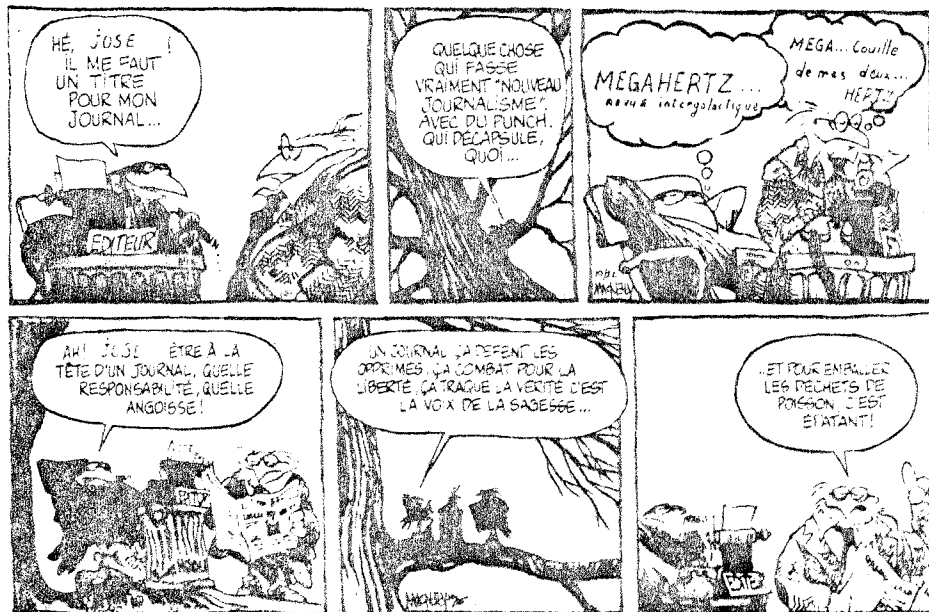
p 400 Mhz = +22 dBm i.e. 158 mW / 50 Ohms  
rejection harmoniques > 60 dB entre 10 kHz et 1 GHz



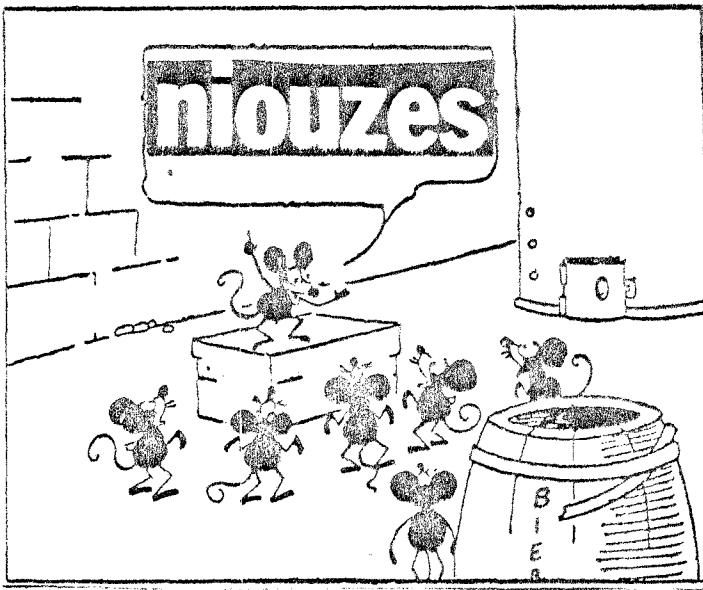
Bonne réalisation! F1QY.

L'AMPLI 1286 MHz 6007 de DE9XXI qui devrait être sur cette page sera dans le n° de novembre 88!

(16)



- FSSQ vds pnd 4CNL70's
- FAEIT cherche AN358A ou sim.
- FD4URK cherche pour photos op Ham Radio May ?

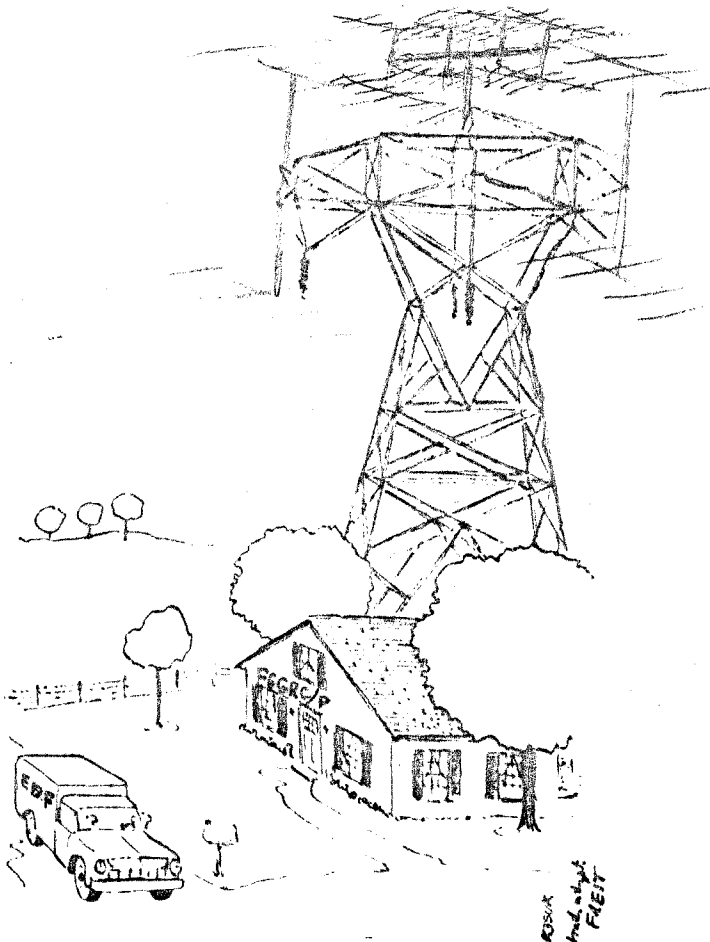


L'abus prolongé d'alcool ne fait pas automatiquement la cirrhose. Il prépare plutôt le terrain, et c'est l'intervention d'un autre facteur (peut-être le virus de l'hépatite B) qui déclencherait la cirrhose. C'est la conclusion d'une étude danoise publiée par l'hebdomadaire médical *The Lancet*. Elle a été menée très soigneusement.

ment auprès de 258 hommes qui consommaient plus de 50 g d'alcool par jour et qui ont été suivis pendant 10 à 13 ans. Pendant ce temps, 38 d'entre eux ont été atteints de cirrhose, sans qu'il y ait de lien avec la dose d'alcool consommée ou le nombre d'années de cette consommation.



"The last time we went out to eat was because of power failure!"

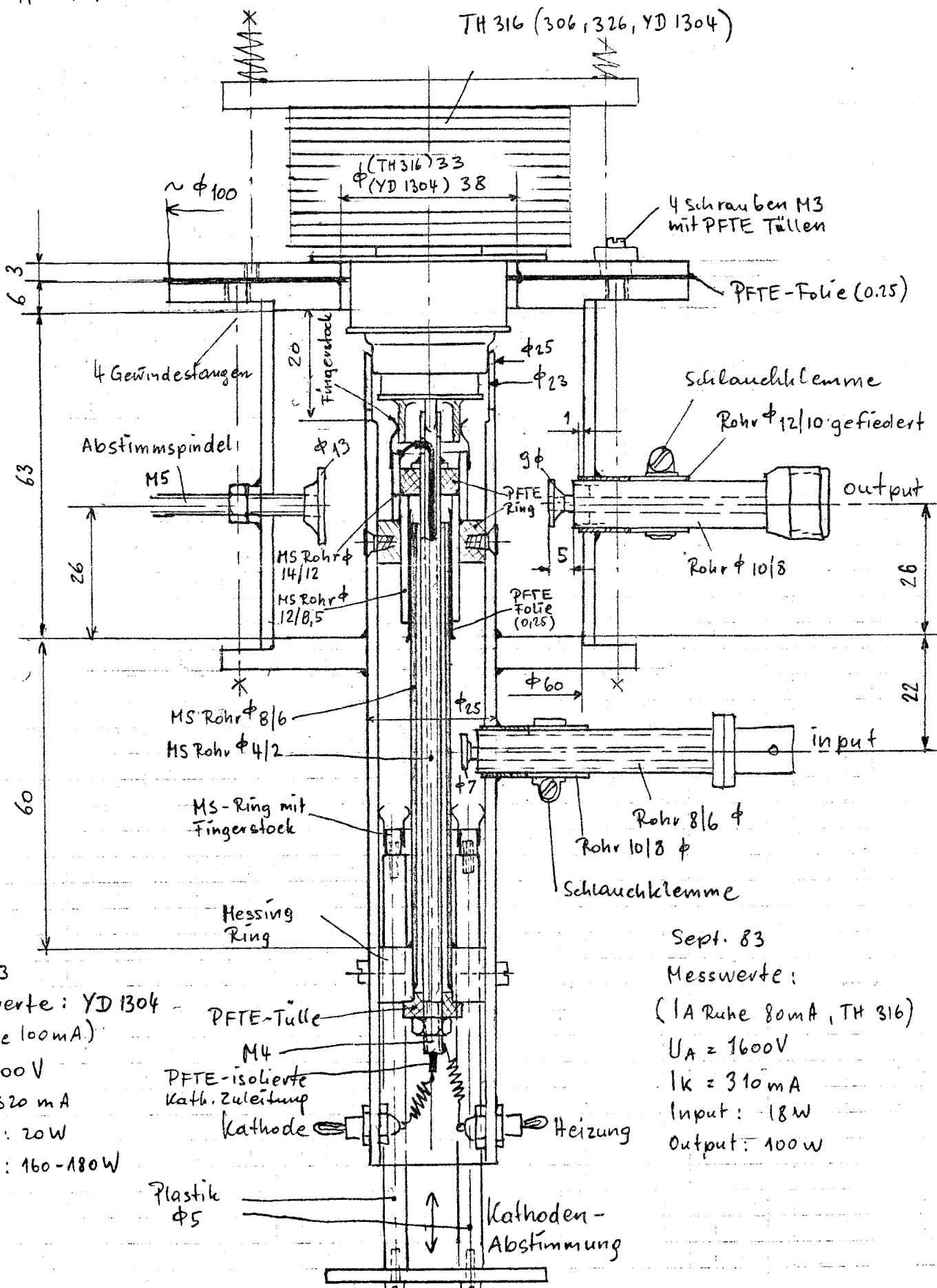


"eh ! Marcel... je crois bien que c'est un des nobres !"

2300 MHz PA

OE9PMJ Nov 1983

H = 1:1



# BLOODY mélange ALCOOLS.

D'une histoire par Bére Joint 85★

Roger & Bloody, toujours avides de sensations nouvelles, à tape un Felix Putain, et appellé un pote à lui qui touche en cocktails ...



Lorsqu'on mélange 1 gramme de cèpe cueilli à la pleine lune et préalablement séché avec 2 grammes de thé de Darjeeling qui aurait macéré pendant 23 jours dans de la saumure, et que l'on fume le tout, surtout après un copieux repas bien arrosé, on est très rapidement indisposé par des nausées et de violentes migraines, sans être une seconde défoncé. Toutefois, ce mélange ne provoque aucune accoutumance.



## Réalisation pratique

19

Les couplages sont réalisés avec du wireline 50 $\Omega$  rigide, ce coupleur est constitué de fils torsadés, isolé entre eux permettant ainsi un couplage mutel important et d'un tube de cuivre constituant la masse.

Les charges fictives sont réalisées par des résistances de 50 $\Omega$  de récupération sur des isolateurs (attention certaine charge sont sélective).

Le substrat est du verre teflon de  $1/32"$  (0,8mm d'épaisseur). Pour le montage il sera séparé suivant pointillé sur CI de façon à éviter de tordre les pattes du transistors. Le CI sera rigidifié par un radiateur. La polarisation est câblée en l'air.

### Réglage :

Charger chaque amplificateur par des charges fictives de 50 $\Omega$  régler le courant de repos à 600mA (attention prévoir le radiateur en conséquence)

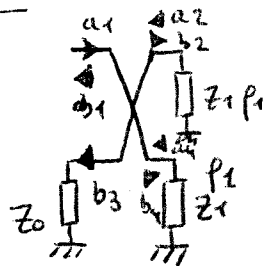
Régler chaque amplificateur aux max de puissance de sortie, les connecter ensuite par les coupleurs 90°. Pour les premiers étages en HF on insérera un atténuateur de 3 à 6dB pour protéger l'étage exciteur.

PS : Bientôt en FB8X donc  
Le 5,7GHz sera pour  
le retour en 1986

Bonne réalisation

Michel FFLN

A bientôt sur 13cm.  
La propagation semble être  
comparable au 1,2 GHz

Annexe :

Matrice du coupleur - 3dB 90°

$$\frac{1}{\sqrt{2}} \begin{vmatrix} 0 & 0 & 1 - j \\ 0 & 0 & -j \\ 1 - j & 0 & 0 \\ -j & 1 & 0 \end{vmatrix}$$

 $z_0$  impedance caractéristique $z_1$  impedance de charge en 2étagesL'onde incidente  $a_1$  est divisée par  $\sqrt{2}$  en tension soit 3dB.si  $z_1 = 50\Omega$  pas d'onde réfléchie.

$$b_2 = \frac{a_1}{\sqrt{2}} \angle 0^\circ \quad a_2 = p_1/\sqrt{2} \angle 0^\circ$$

$$b_3 = \frac{a_1}{\sqrt{2}} \angle 90^\circ \Rightarrow a_3 = p_1/\sqrt{2} \angle 90^\circ$$

$$b_1 = p_1 \cdot \frac{a_1}{2} + p_1 \frac{a_1}{2} \angle 180^\circ = 0^\circ \text{ pas de retour sur l'émetteur}$$

$$b_3 = p_1 \frac{a_1}{2} \angle 90^\circ + p_1 \frac{a_1}{2} \angle 90^\circ = p_1 a_1 \angle 90^\circ \text{ puissance absorbée dans la charge } 50\Omega \text{ si } p_1 \text{ est important.}$$

d'autre applications des couplieurs 90°, attenuateur à diodes PIN.

Bibliographie + Dubus DLFQY 1/1984

+ AN HP 949-1 Linear power amplification using The HP35850 series transistors

+ AN California Eastern Laboratories (UK) JP Quinn 1981

+ doc diverse IUT cachan sur coupleur 90°.

Merci à José FLEIT et Michel F6DZK.

- \* Sealectro 91 Vieille poste représentant de SAGE

type HC

longueur en cm  $\lambda/4 = \frac{4,95}{f(\text{GHz})} = 2,15 \text{ cm} [\pm 10\% \text{ sur}]$   
la fréquence